

# 食によるLINE PROFILEの時間変化 から探る矮新星円盤の構造

---

京都大学 宇宙物理学教室 修士2年

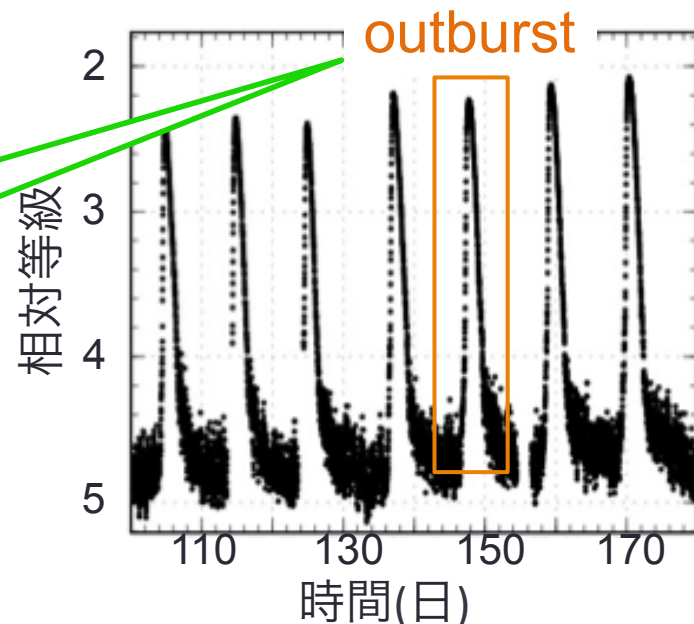
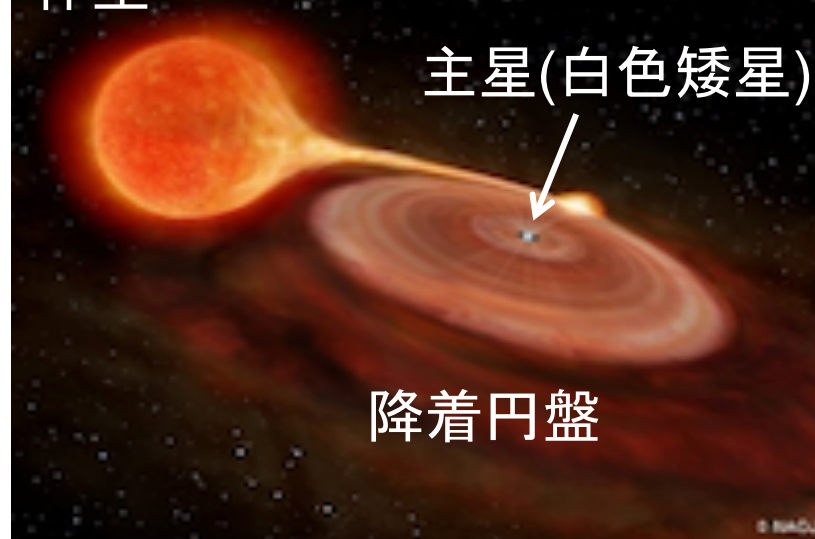
若松恭行

Ishioka et al. 2004, PASJ, 56, 481

“Line-Profile Variations during an Eclipse of a Dwarf Nova,  
IP Pegasi”

# 矮新星

- 主星(白色矮星)  
+ 伴星(後期型主系列星)
- 軌道周期は数時間
- 伴星から輸送された物質が主星の周りに**降着円盤**を形成
  - 主に水素、ヘリウム



降着円盤内の物質が主星に急激に降着する際、**降着円盤が突発的に増光**(~2-5等級)

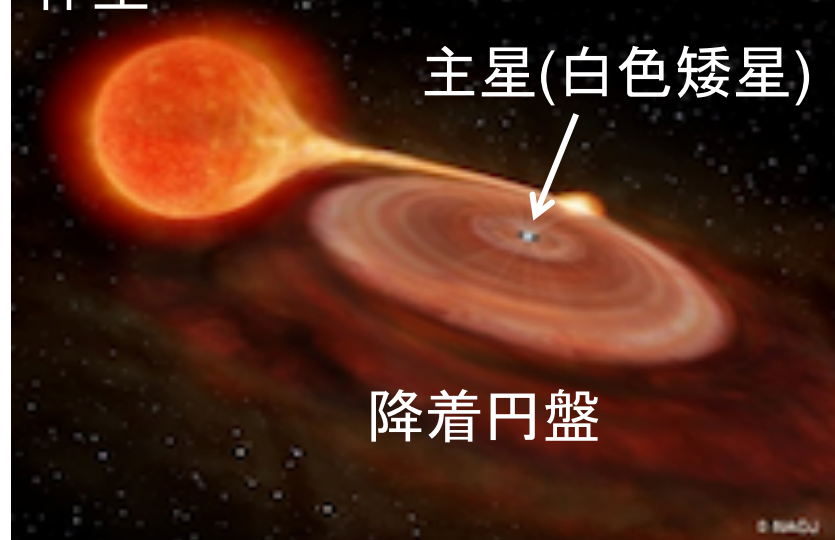
# 矮新星



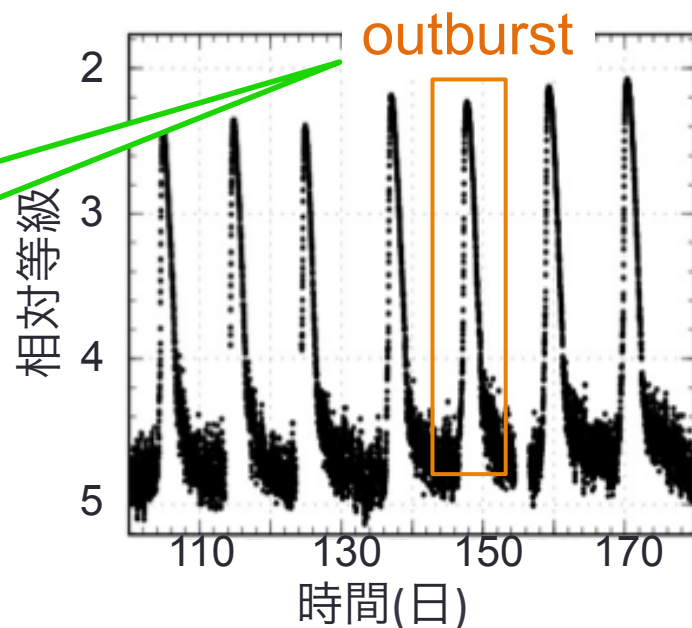
Wikipediaより

降着円盤内の物質が主星に急激に降着する際、**降着円盤が突発的に増光**(~2-5等級)

伴星

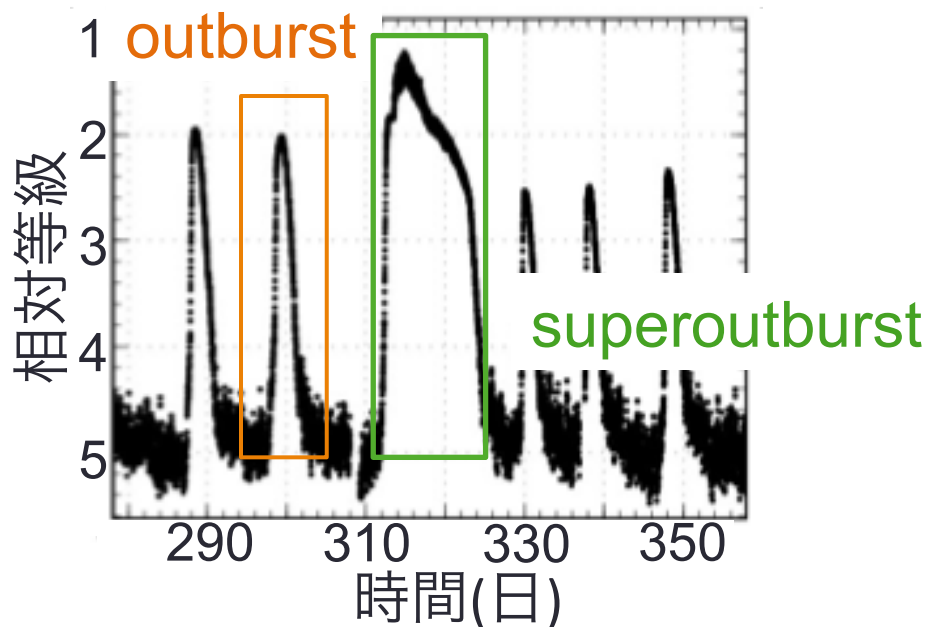
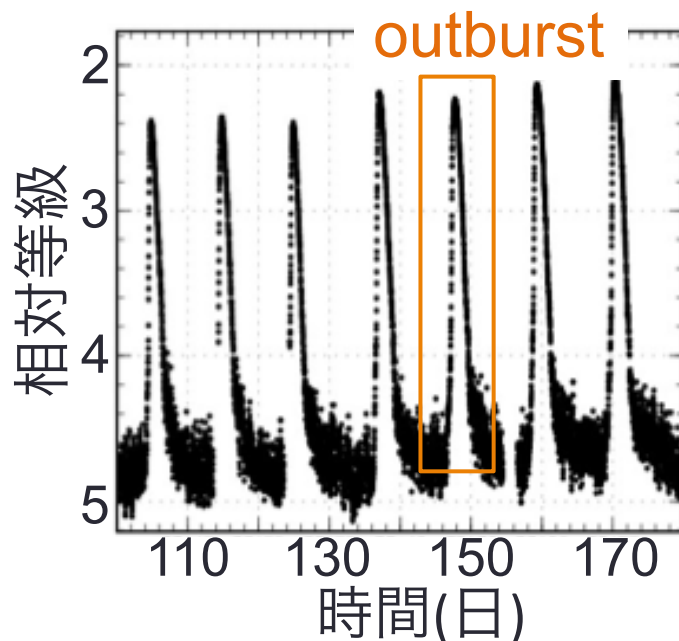
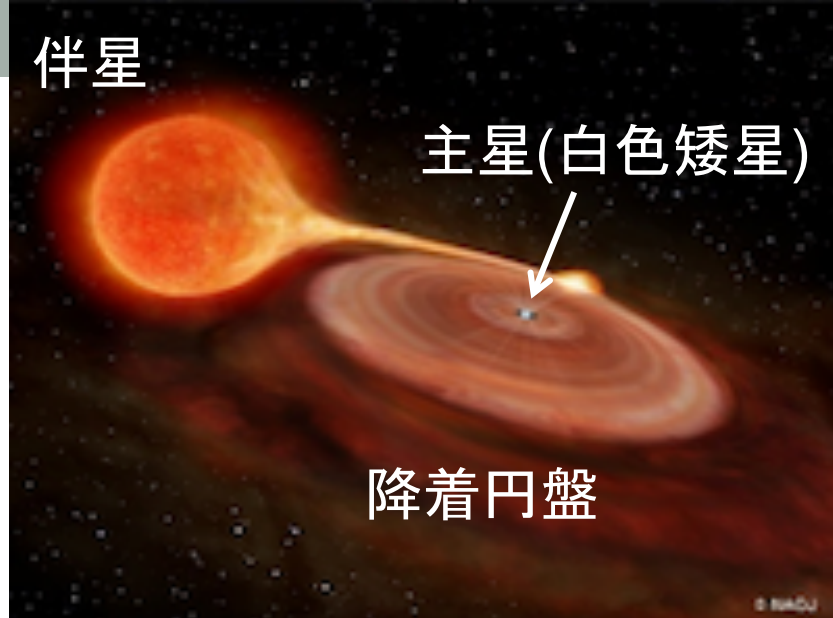


主星

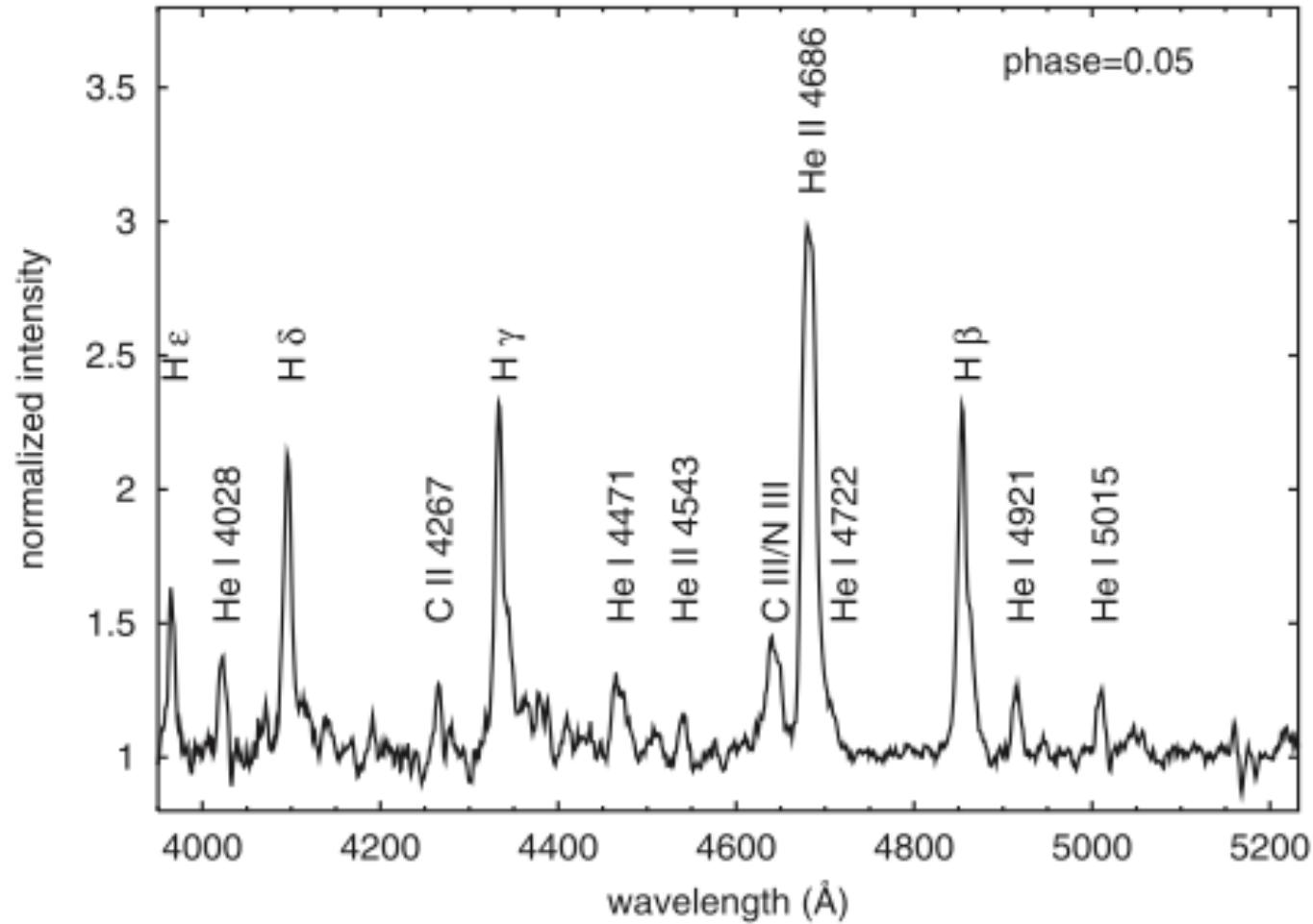


# 矮新星

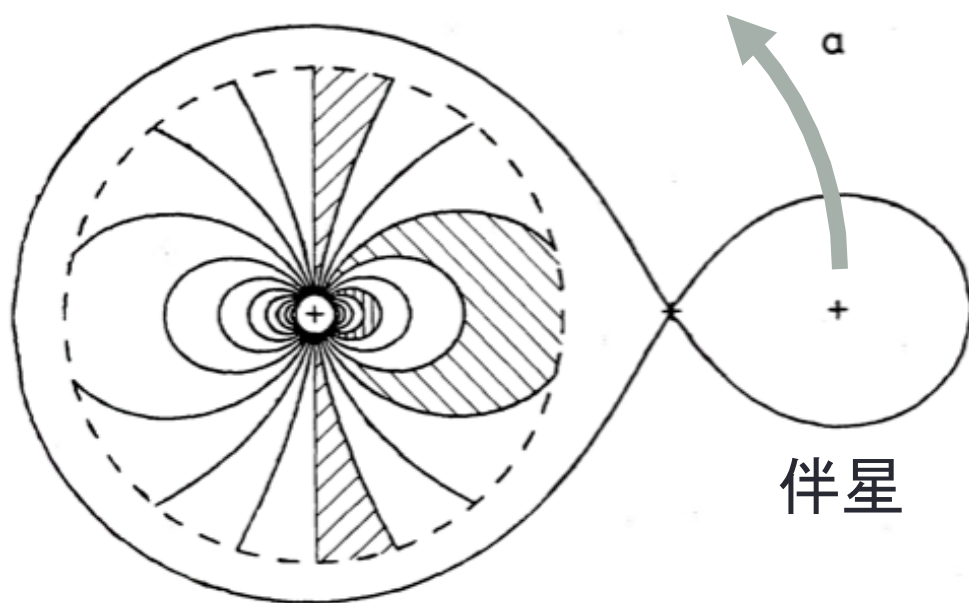
- outburstもsuperoutburstも  
”準”周期的  
⇒ **増光の予測は困難**
- 例) WZ Sgeのsuperoutburst間隔  
は約33年⇒23年で増光



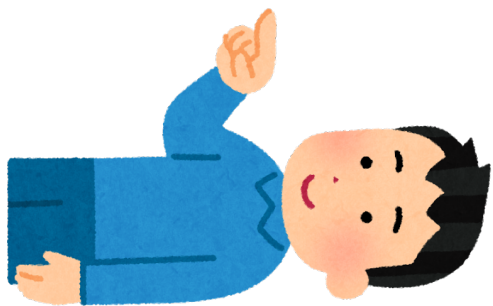
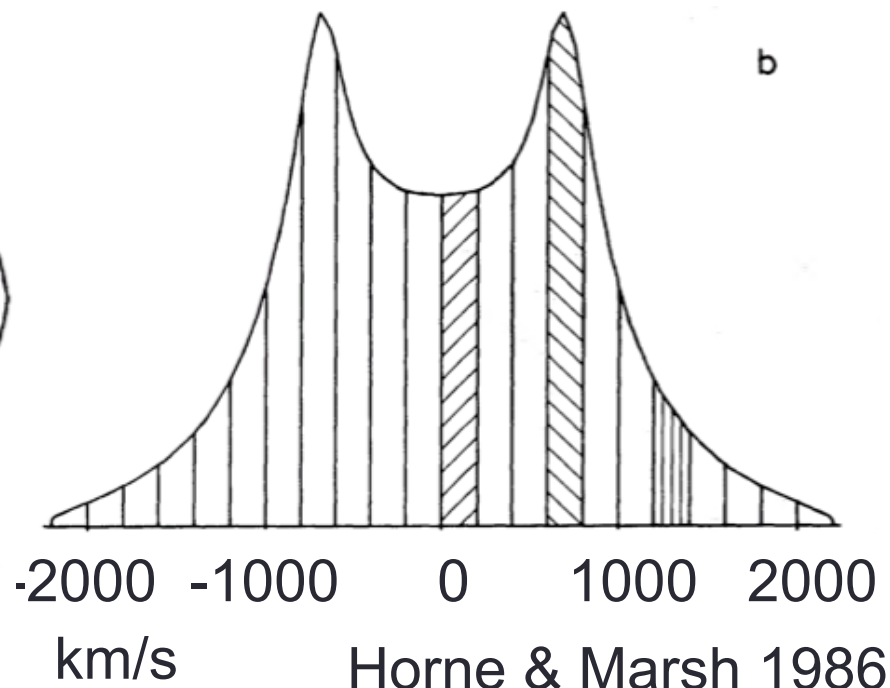
# 降着円盤で見られるLine



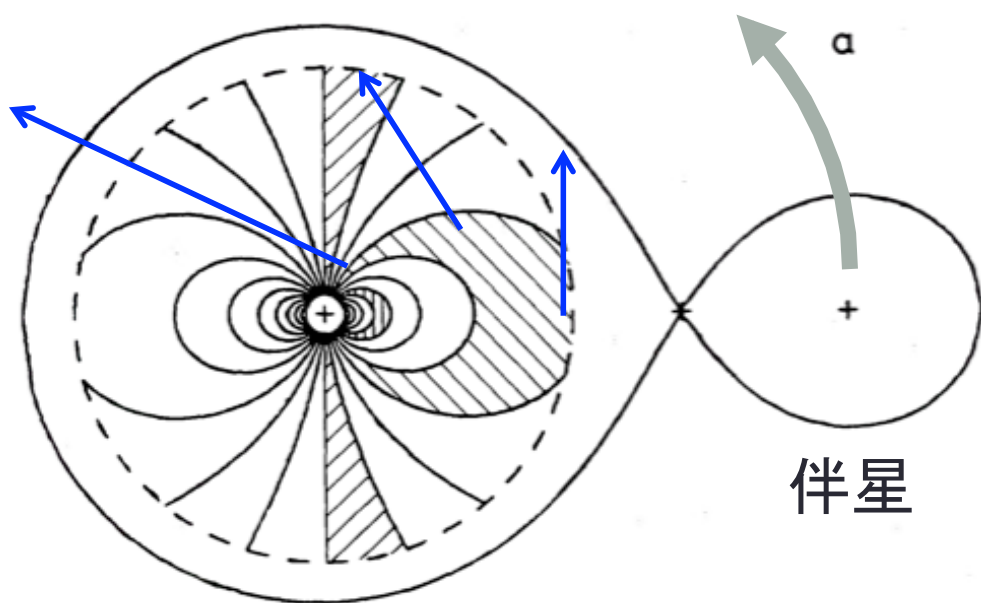
# 降着円盤のline profileの見え方



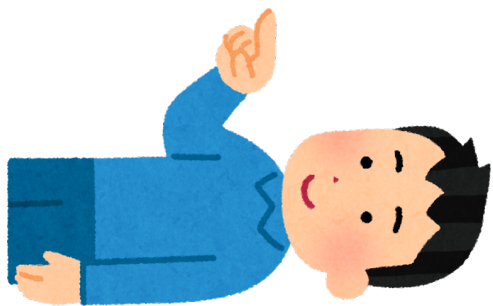
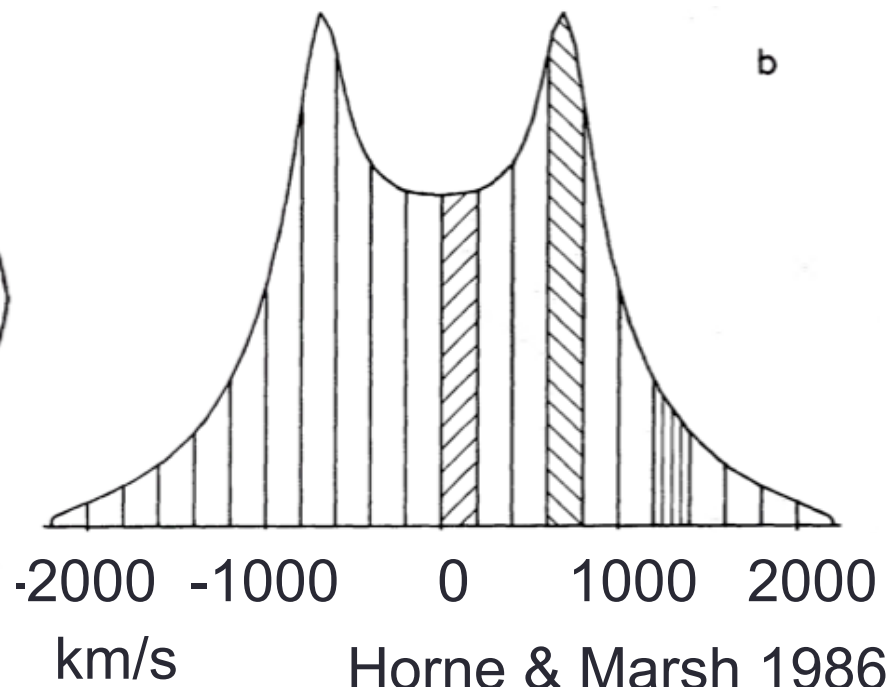
主星+降着円盤



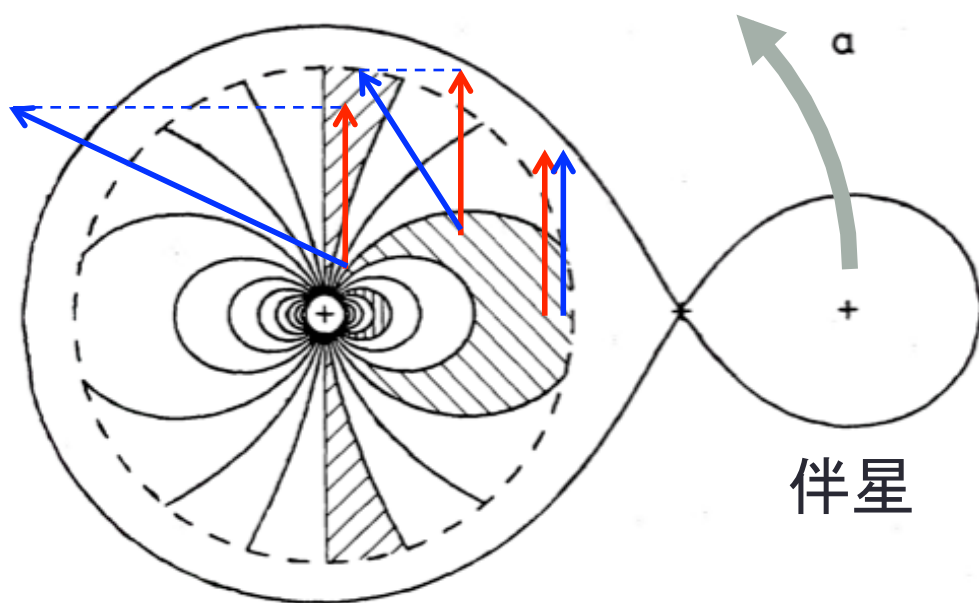
# 降着円盤のline profileの見え方



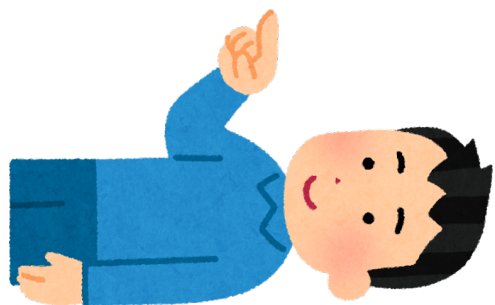
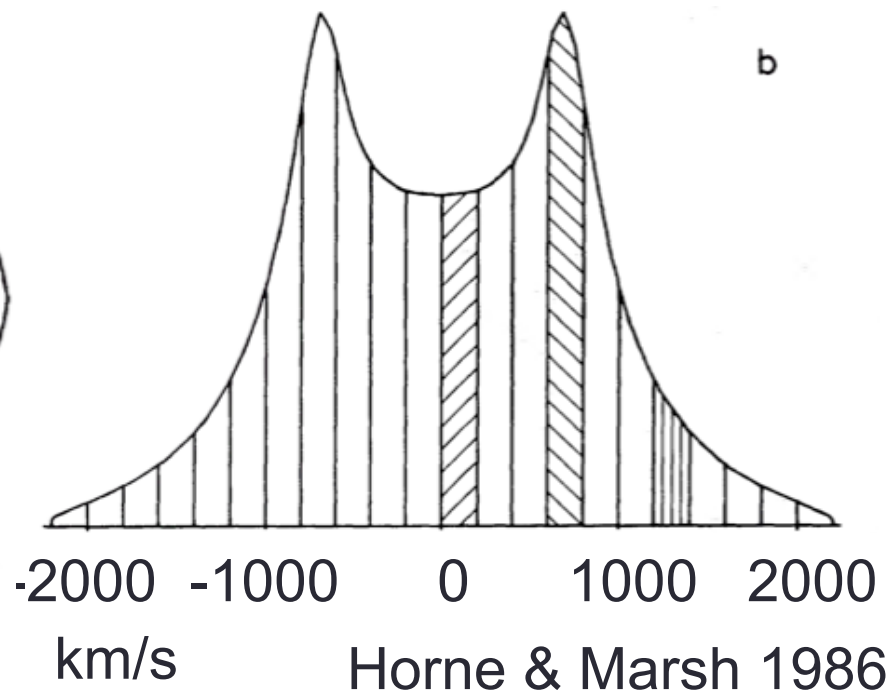
主星+降着円盤



# 降着円盤のline profileの見え方

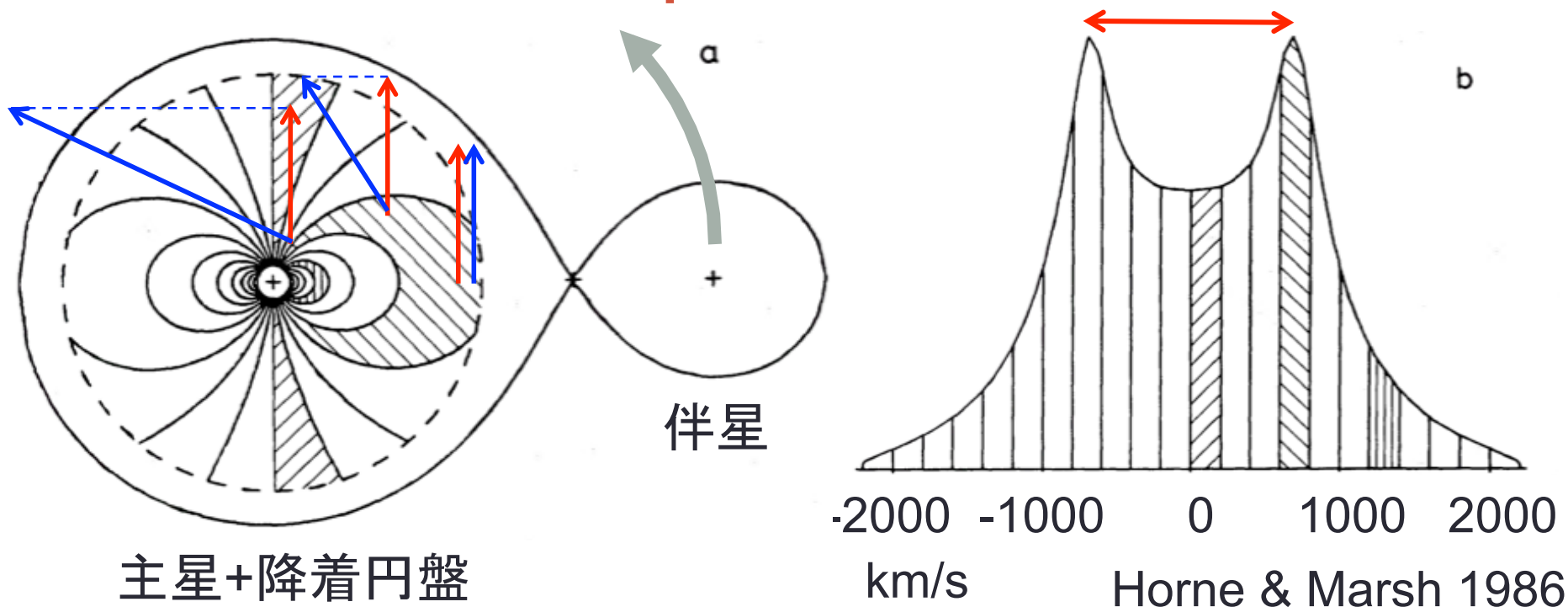


主星+降着円盤



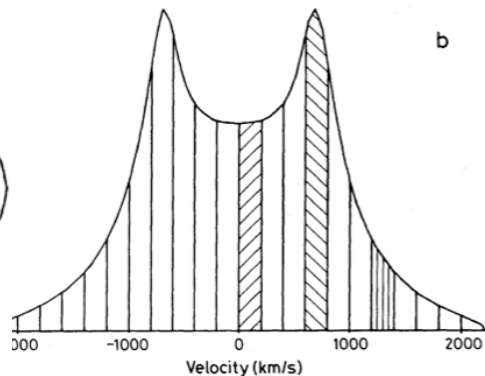
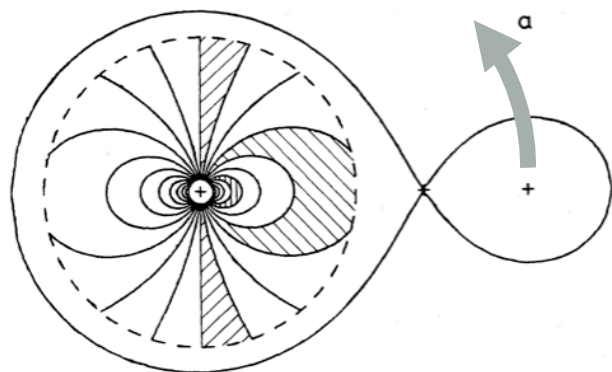
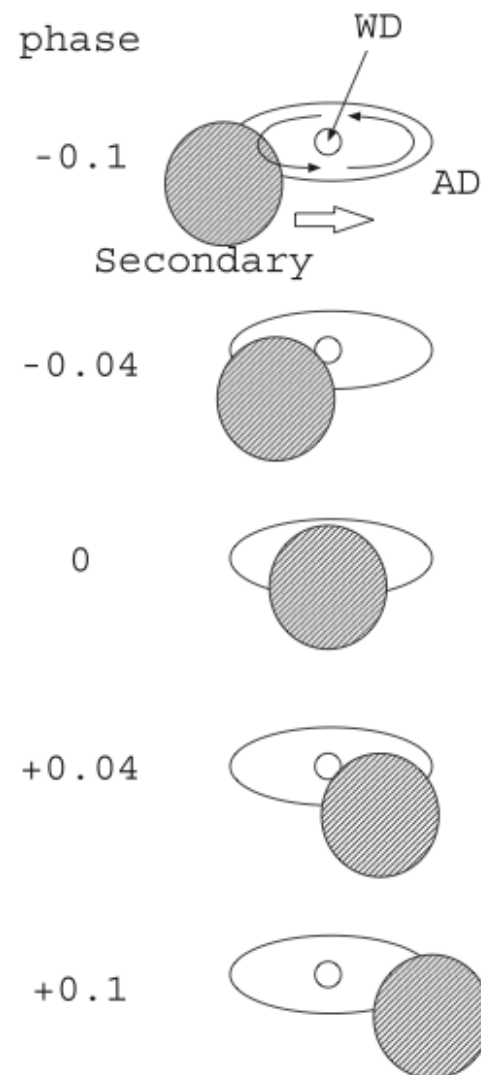
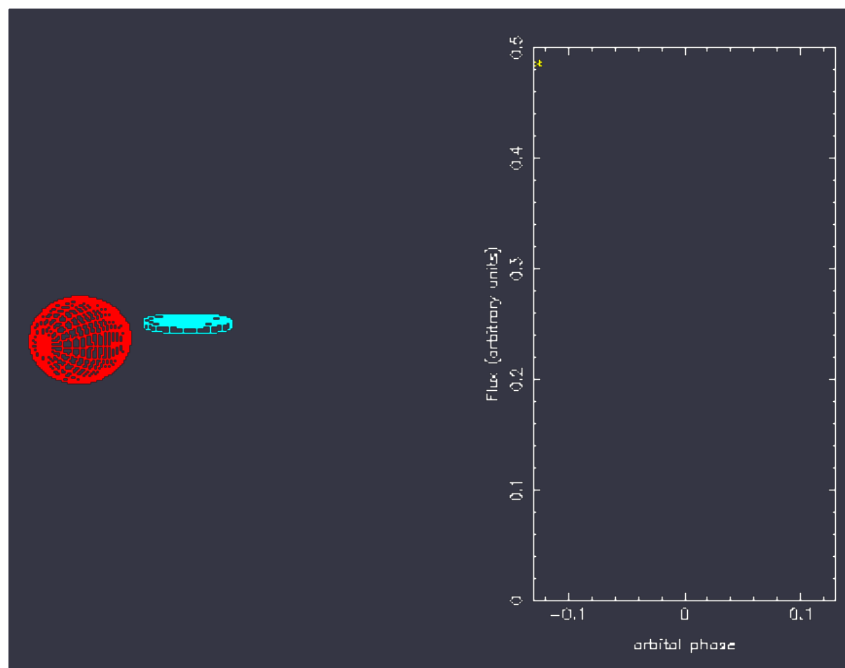

 の部分の視線速度は一定だ！  
 ⇒波長シフト量は同じ。面積が広いので強度が大きい。

# 降着円盤のline profileの見え方



- Line profileの幅⇒円盤外縁の速度
- 円盤のKeplerian motionを仮定⇒円盤の半径

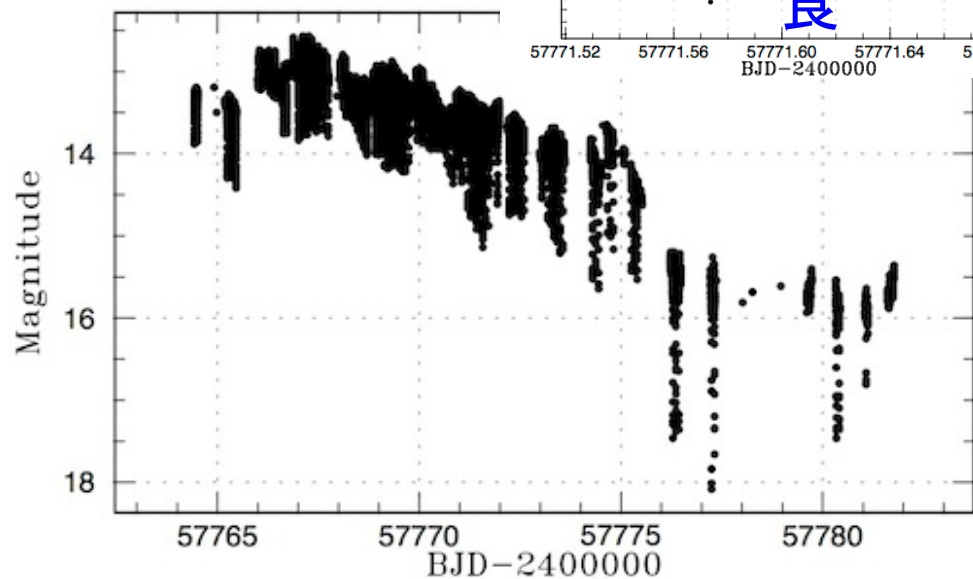
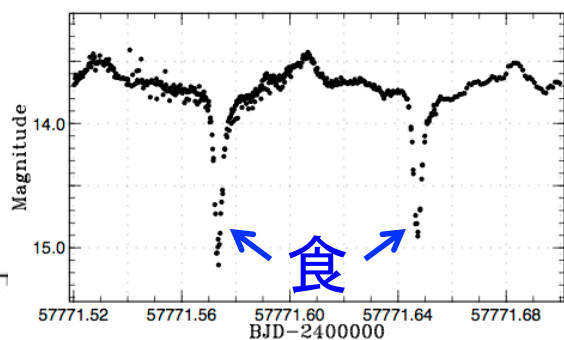
# 矮新星の食



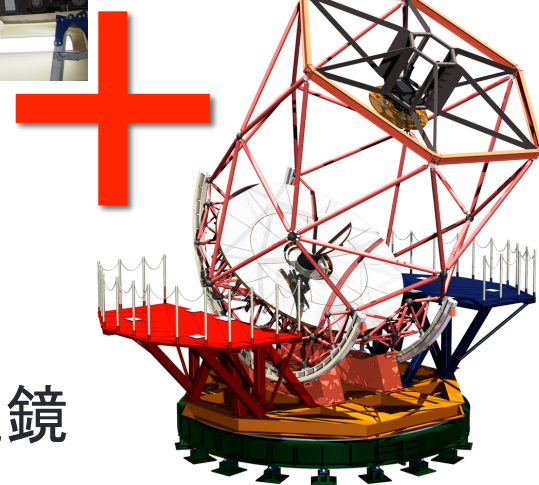
Horne & Marsh 1986

# (測光+分光)同時観測

- 測光観測⇒食のタイミング、エクリプスマッピング
- 分光観測⇒line profileの時間変化、ドップラートモグラフィ



屋上望遠鏡  
VSNET

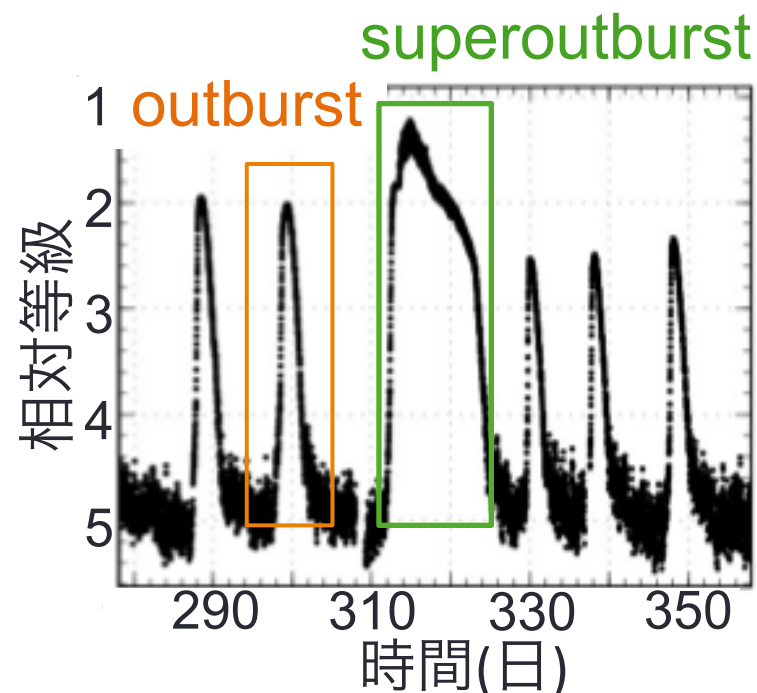


3.8m望遠鏡

# 研究の目的

- 降着円盤の状態を調べる
- outburst時の連続観測から降着円盤の状態の変化がわかり、outburstのメカニズムにせまれる

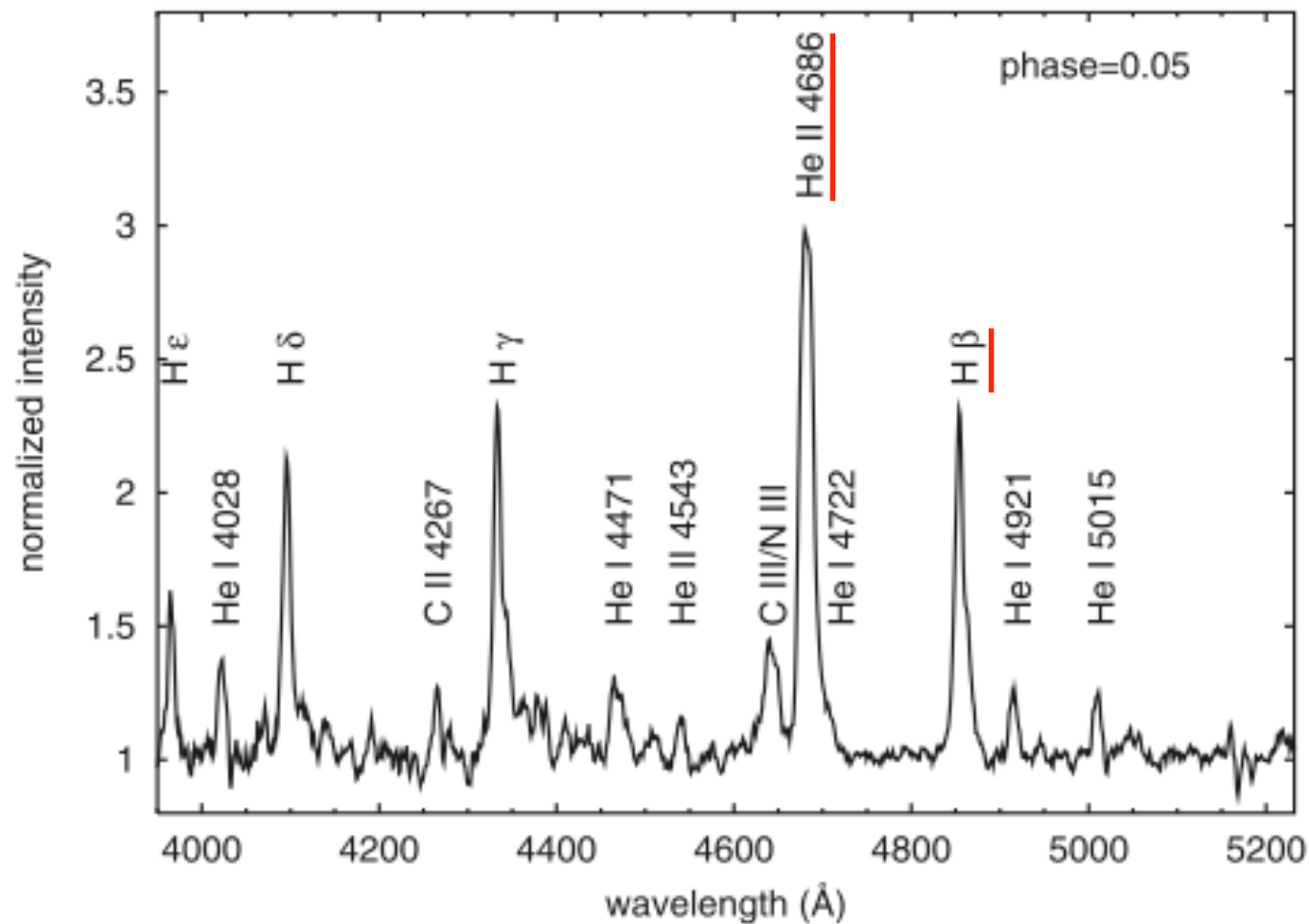
- この手法の特徴
- メリット: 食を利用することにより空間情報が得られる
- デメリット: 深い食のある系( $i > 80^\circ$ )でしか使えない



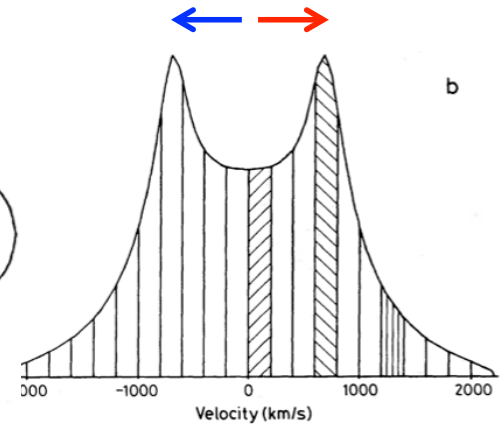
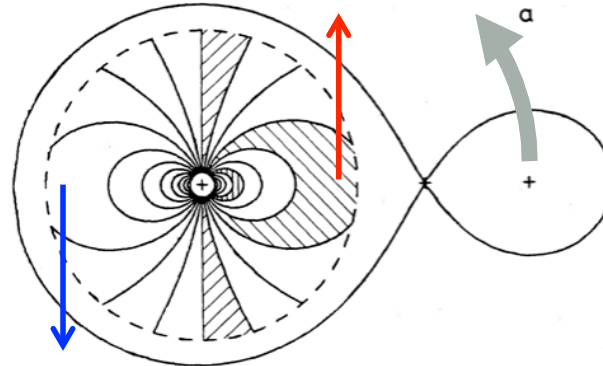
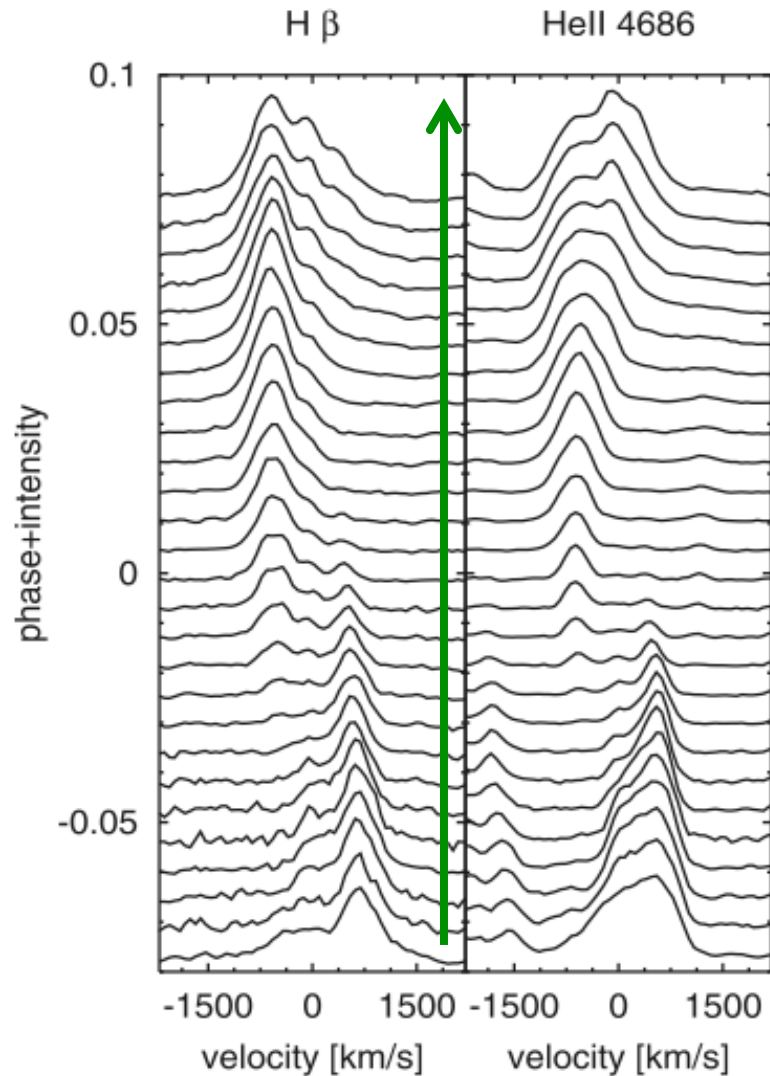
# IP Pegの観測

- すばる望遠鏡 FOCAS(Faint Object Camera and Spectrograph)
- 観測日: 2002年8月9日
- 等級: V~12.4等 (IP Pegの増光幅: 14.5等-12等)
- 観測波長: 3550-5250Å
- 波長分解能  $R \sim 2000$
- 時間分解能: 80秒(30秒露光+50秒デッドタイム)
- 38スペクトルセット/1 eclipse ( $\Phi = -0.1 - +0.13$ )
- IP Peg 軌道周期3.8時間

# IP Pegのスペクトル



# 食によるline profileの変化



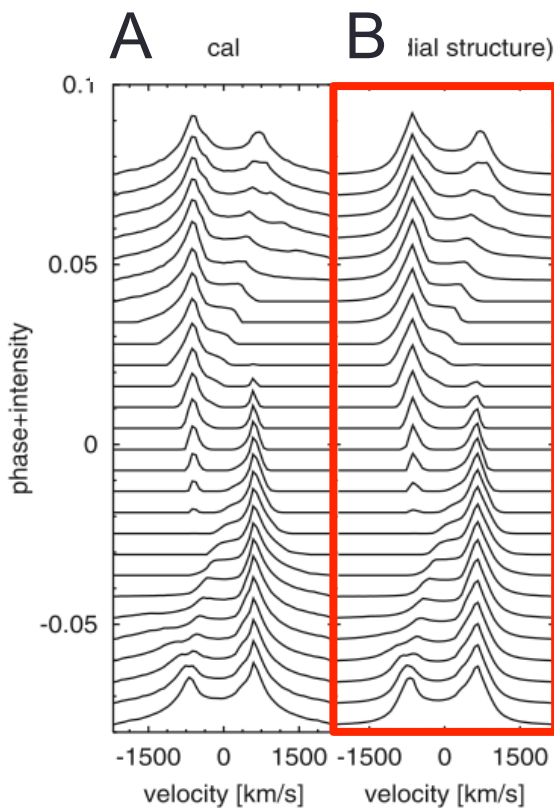
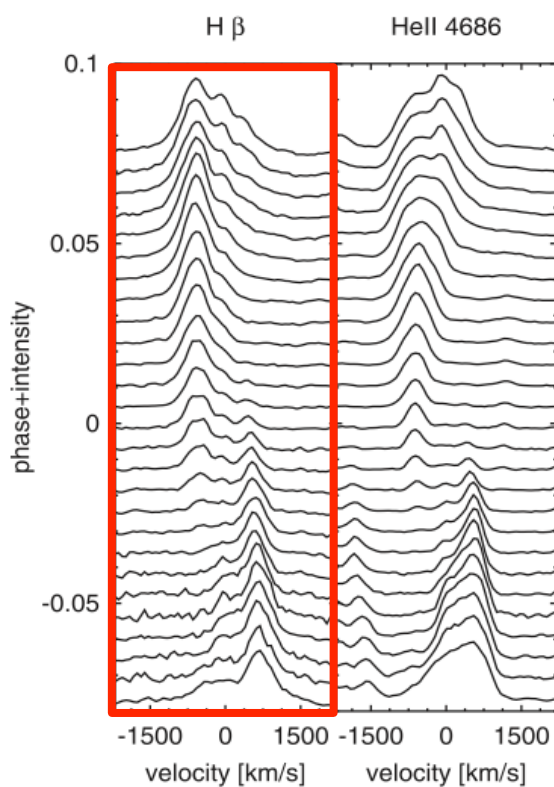
Horne & Marsh 1986



食によってline profile  
が変化したぞ！

- 円盤の隠れる場所によってline profileが変化
- ⇒ 円盤の構造を探ることができる

# モデルスペクトルとの比較



$$v(r) = v(R_{\text{out}}) \left( \frac{r}{R_{\text{out}}} \right)^{-a}$$

$$j(r) \propto \left( \frac{r}{R_{\text{out}}} \right)^{-b}$$

$$(R_{\text{out}}, R_{\text{in}}) = (0.40, 0.03)$$

$$\text{A } (a, b) = (0.5, 1.5)$$

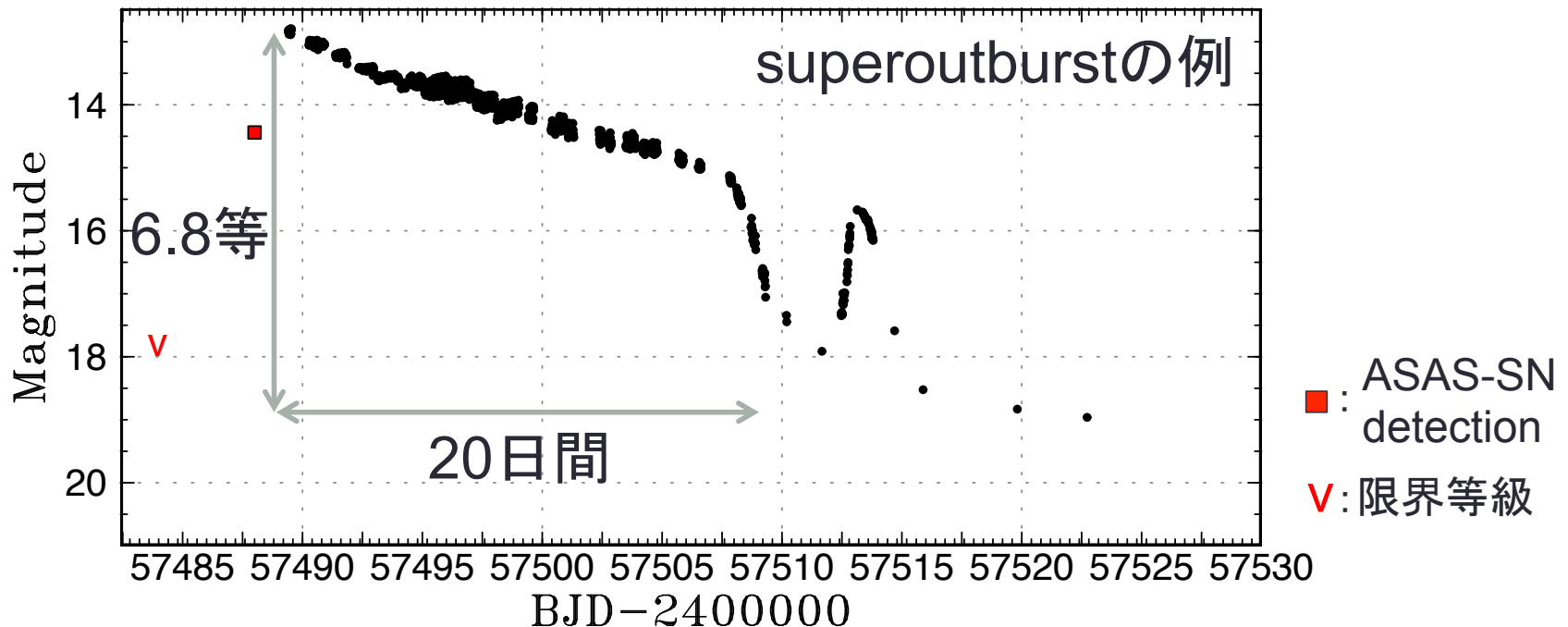
$$\text{B } (a, b) = \begin{pmatrix} 0.5, & 0.3 (r < 0.17) \\ & 1.8 (r > 0.17) \end{pmatrix}$$

- A ⇒ 円盤のemisivityがpower lawとして計算
  - B ⇒ 円盤の内側はemisivity一定、外側はpower lawとして計算
- どちらの場合でも説明できない成分@V~0(hot spot etc.?)

# なぜKOOLS-IFUか？

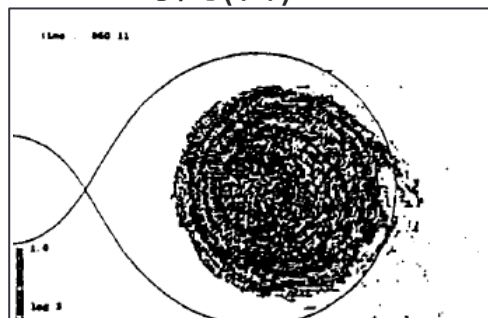
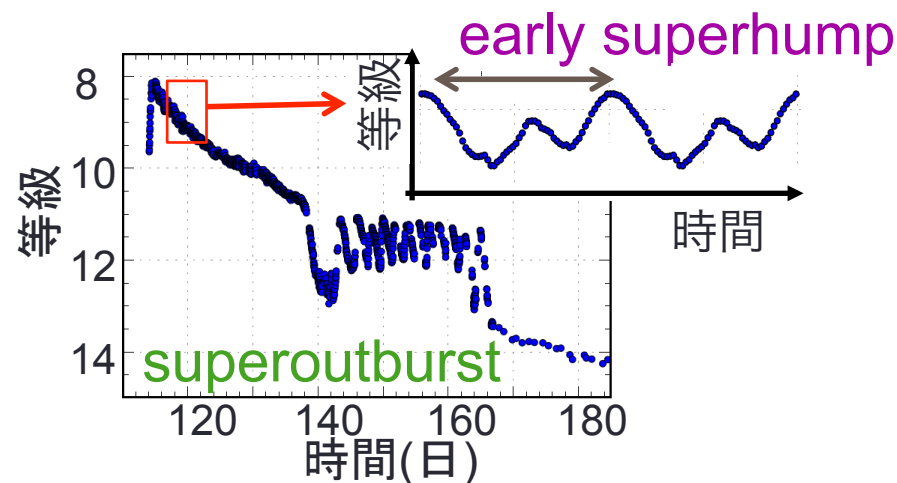
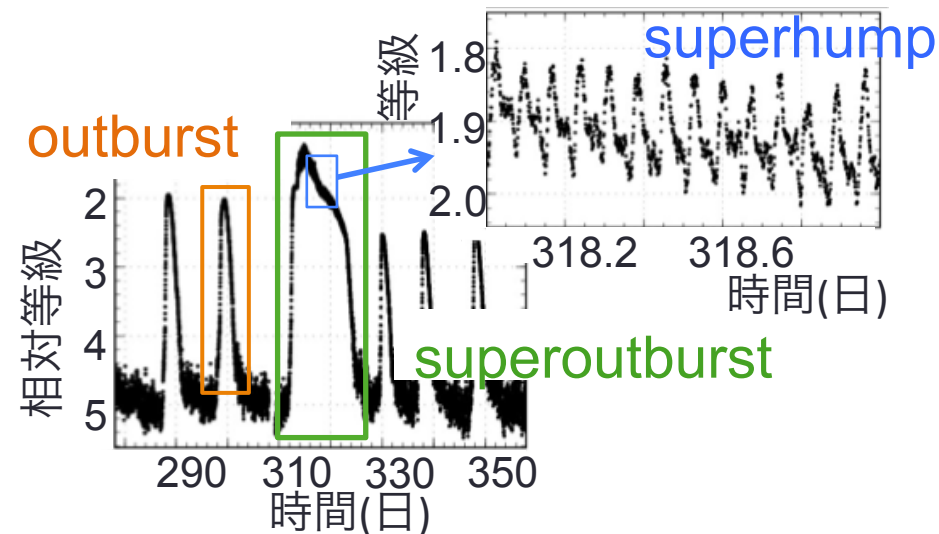
- 矮新星の爆発現象は突発的
  - outburst、superoutburst (静穏状態→極大まで~1、2日)
- superoutburst初期の円盤構造が知りたい
- ToO観測が必須

Wakamatsu et al. 2017

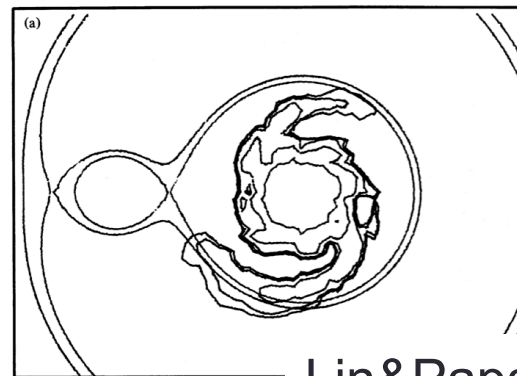


# superoutburst

- 降着円盤の変形を伴う増光⇒円盤の構造は時々刻々と変化
- 1つの食にかかる時間~十数分~数十分⇒高速読み出し



Hirose & Osaki, 1990



Lin&Papaloizou 1979

# まとめ

- 矮新星の現象は突発的で予測困難⇒**ToO観測**
- 増光の初期からから終わりまでの**継続観測**
- 本研究(食によるline profileの変化)では、一つの食の間(~十数分-数十分)にデータを取るための**高い時間分解能**を要する

